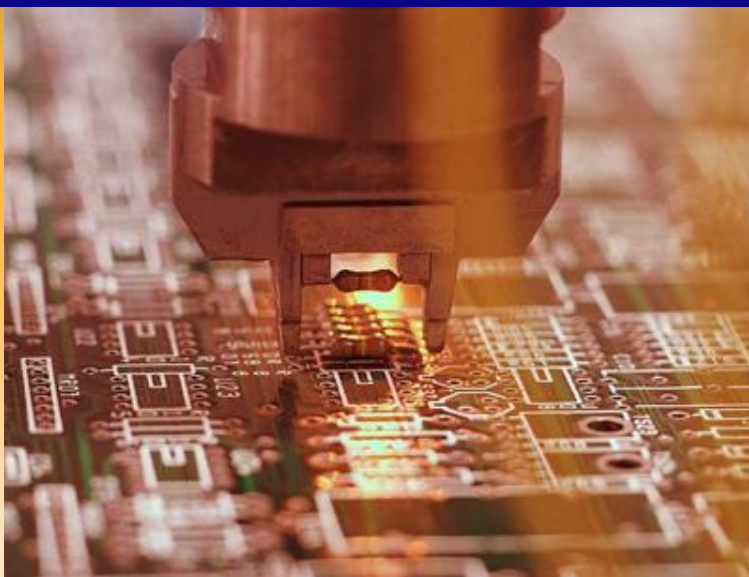


ELEMENTOS ACTIVOS

Juntura Semiconductora



Electroestática: repaso

- Leyes principales:

- Gauss
- Def. potencial

$$\nabla \cdot (\varepsilon E) = \rho$$

$$\nabla \phi = -E$$



$$\begin{cases} \frac{d(\varepsilon E)}{dx} = \rho \\ \frac{d\phi}{dx} = -E \end{cases}$$

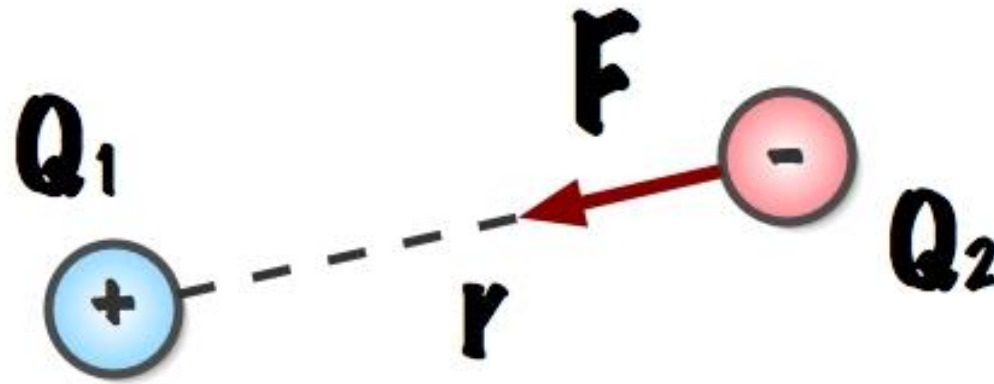
- Ecuación de Poisson

$$\nabla \cdot (-\varepsilon \nabla \phi) = -\varepsilon \nabla^2 \phi = \rho$$

$$\varepsilon \frac{d^2 \phi}{dx^2} = -\rho$$

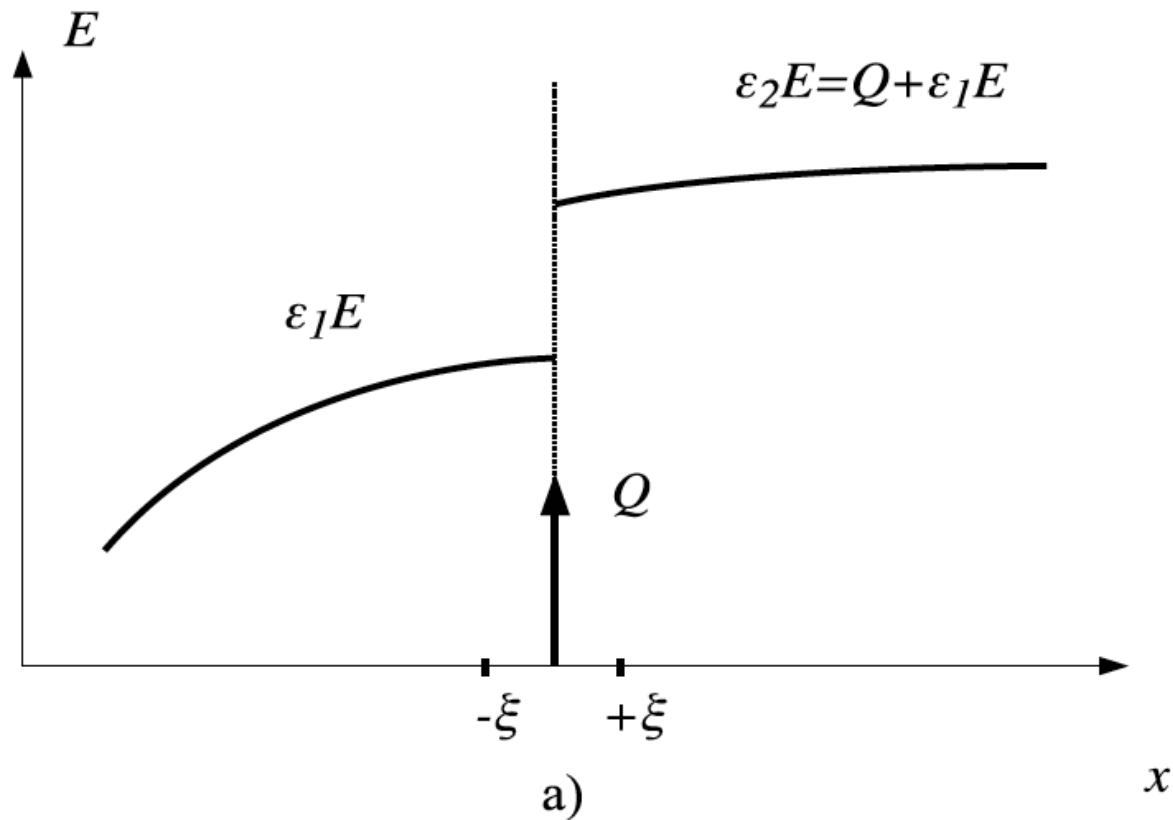
Condiciones de borde: E

- Carga localizada en el espacio
 - Campo eléctrico localizado en el espacio
 - Líneas de campo comienzan en $+q$ y terminan en $-q$



Condiciones de borde: E

- Interfaz entre 2 materiales



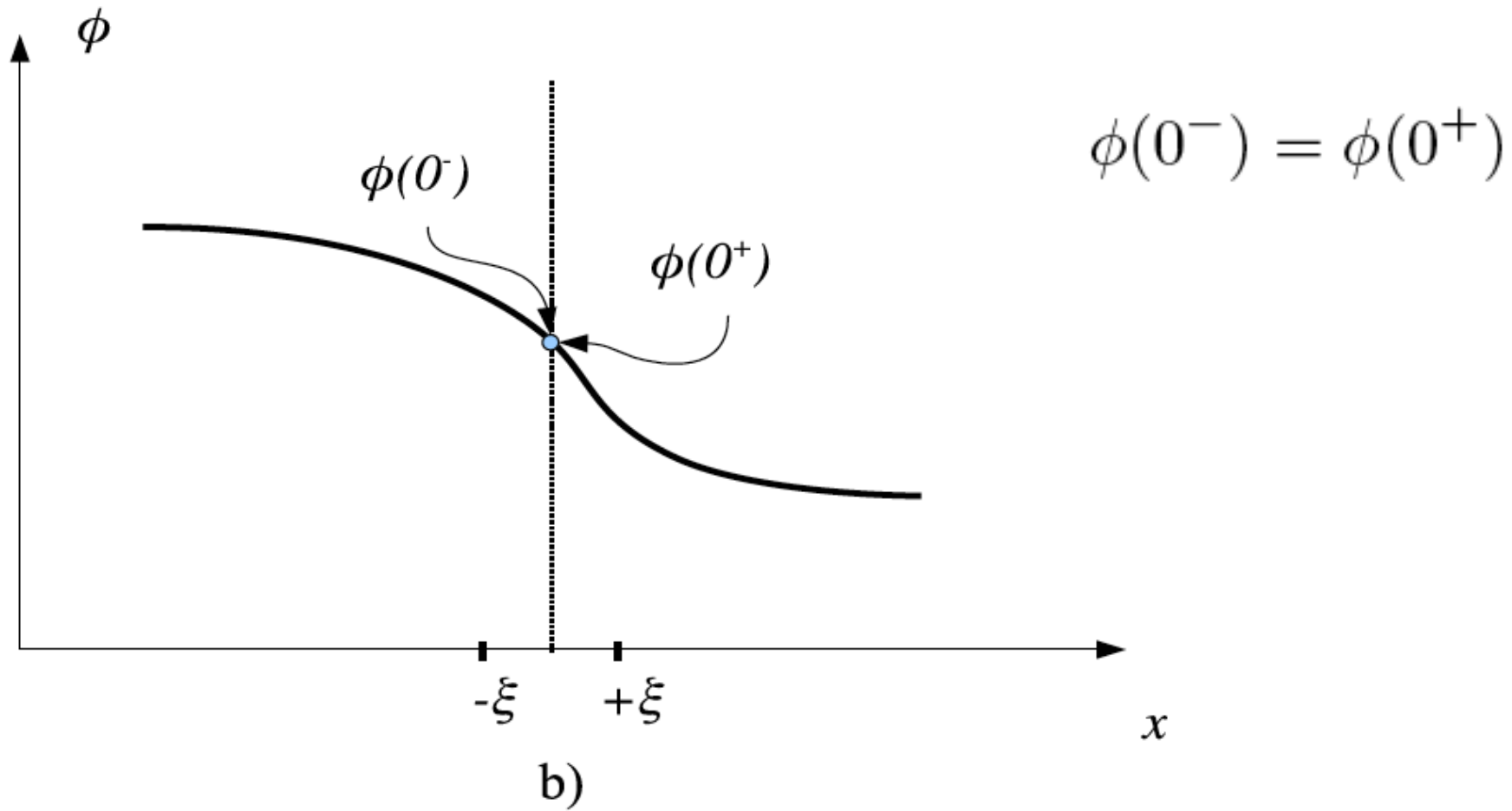
$$\int_{-\xi}^{\xi} d(\epsilon E) = \int_{-\xi}^{\xi} \rho dx$$

$$\epsilon_2 E_2 - \epsilon_1 E_1 = Q$$

$$\epsilon_2 E_2 = \epsilon_1 E_1$$

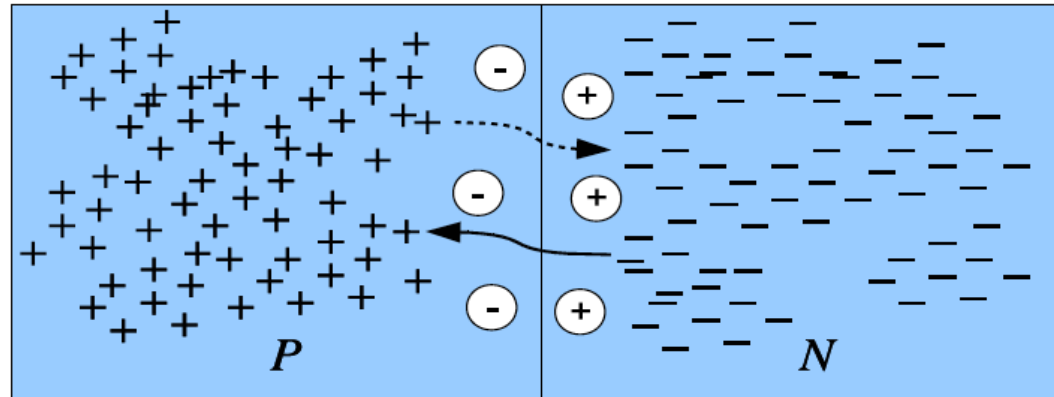
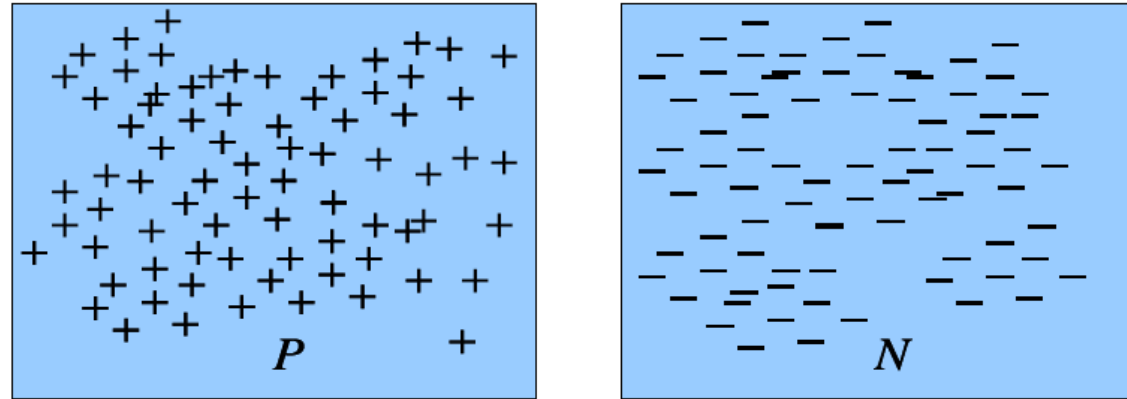
Si $Q=0$

Condiciones de borde: potencial



Juntura: Descripción cualitativa

$$\phi_B \triangleq \phi_{n,p} = \phi_n - \phi_p$$

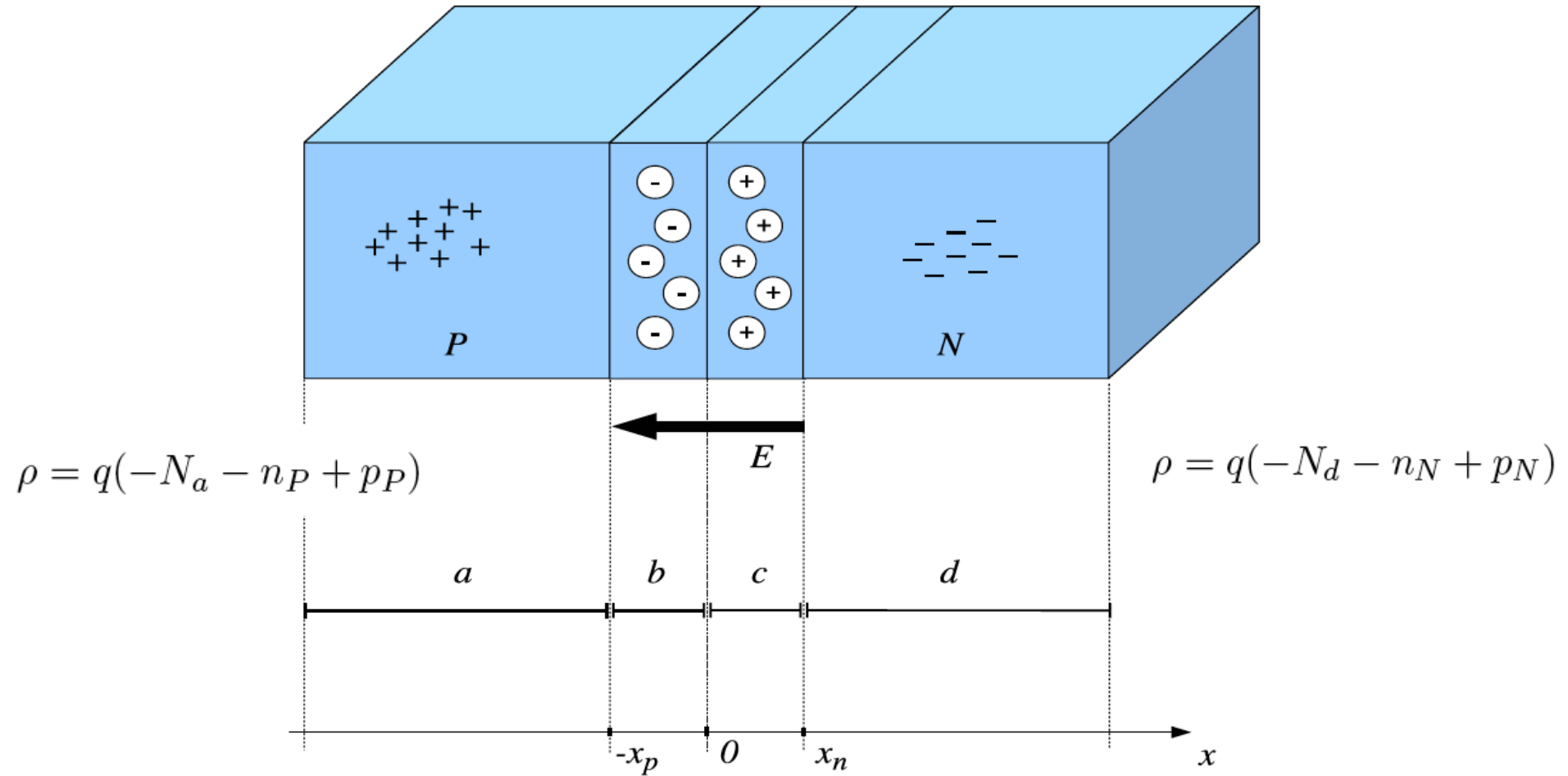


difusión



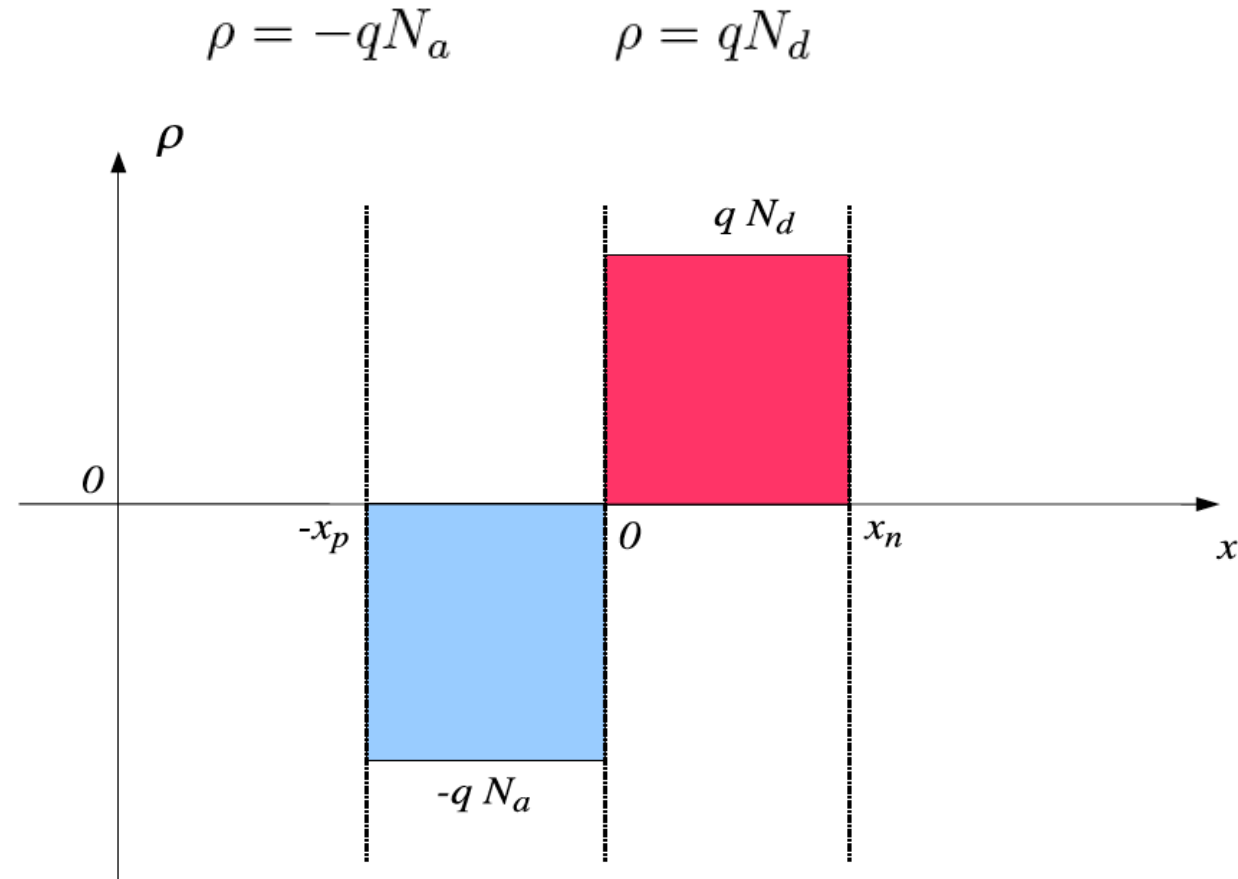
arrastre

Electroestática



Aproximación de vaciamiento

Zona de vaciamiento: no hay portadores



Campo Eléctrico

- Sustrato P y N:
 - Densidad de cargas nula
 - Campo eléctrico nulo
- Región de vaciamiento P

$$E(x) = \int_{-x_p}^x -\frac{qN_a}{\epsilon_{Si}} d\xi = -\frac{qN_a \xi}{\epsilon_{Si}} \Big|_{-x_p}^x$$

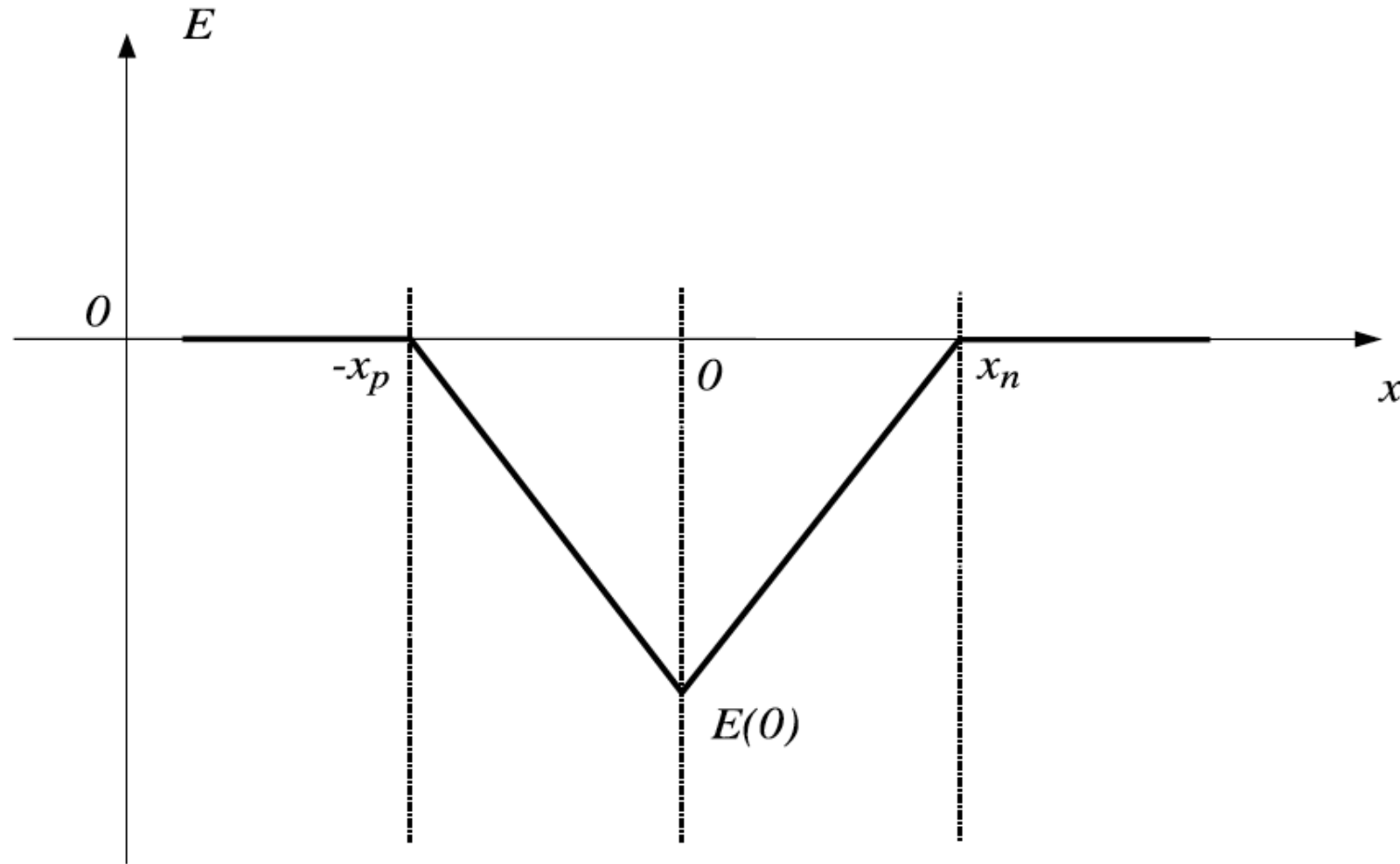
$$E(x) = -\frac{qN_a}{\epsilon_{Si}}(x + x_p)$$

- Región de vaciamiento N

$$E(x) = E(0) + \int_0^x \frac{qN_d}{\epsilon_{Si}} d\xi = E(0) + \frac{qN_d}{\epsilon_{Si}} \xi \Big|_0^x$$

$$E(x) = \frac{qN_d}{\epsilon_{Si}}(x - x_n)$$

Campo eléctrico



Campo eléctrico

► Condición de continuidad

- No hay cambio de material
- No hay carga laminar

$$E(0) = -\frac{qN_a}{\epsilon_{Si}}(0 + x_p) = \frac{qN_d}{\epsilon_{Si}}(0 - x_n)$$

- Igualdad de cargas a ambos lados de la juntura

$$\boxed{N_a x_p = N_d x_n}$$

Potencial

- Zona de vaciamiento P

$$\phi = \phi_0 + \int_{-x_p}^x \frac{qN_a}{\varepsilon_{Si}} (\xi + x_p) d\xi$$

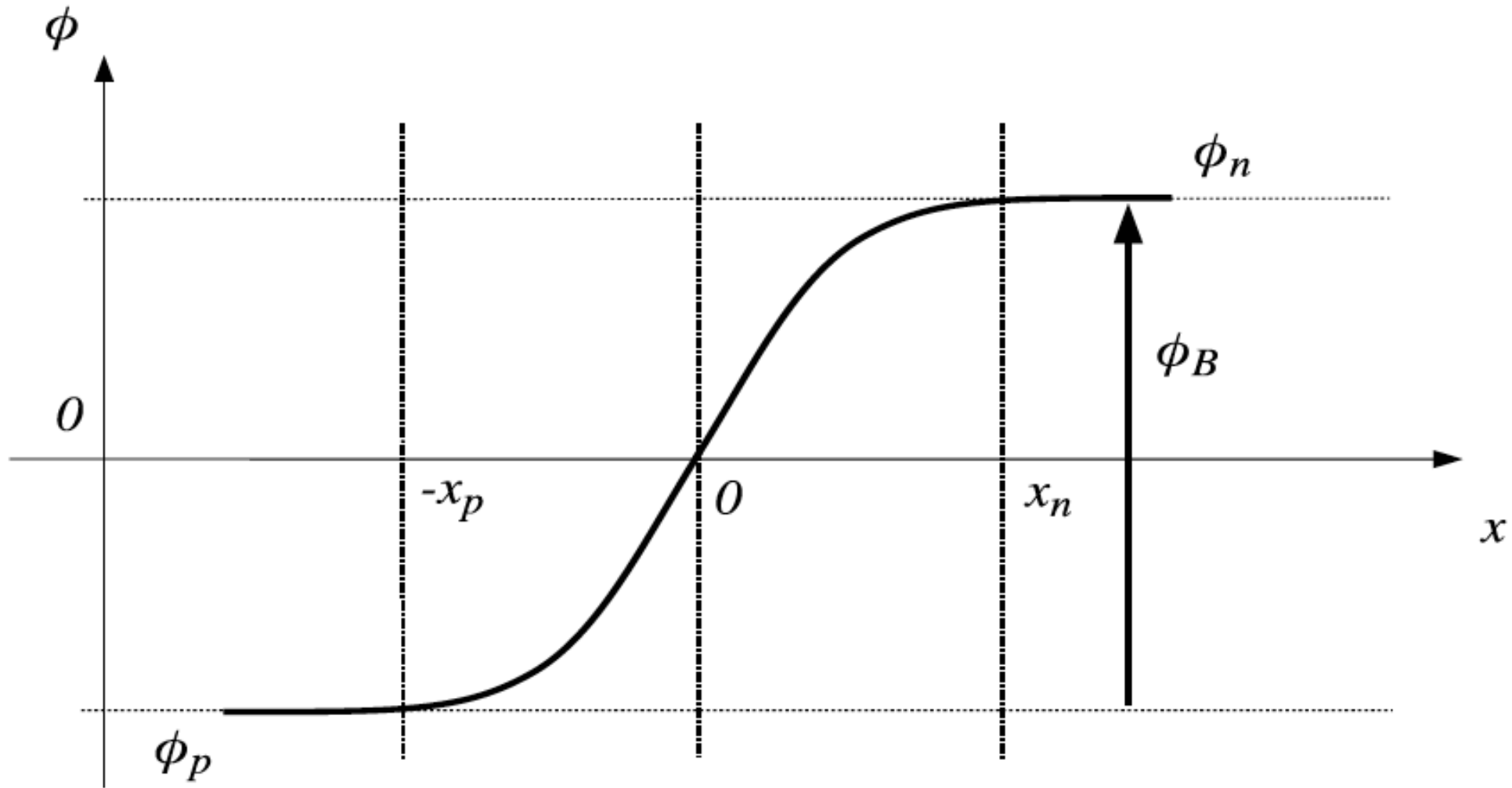
$$\phi = \phi_p + \frac{1}{2} \frac{qN_a}{\varepsilon_{Si}} (x + x_p)^2$$

- Zona de vaciamiento N

$$\phi = \phi_0 - \int_0^x \frac{qN_d}{\varepsilon_{Si}} (\xi - x_n) d\xi$$

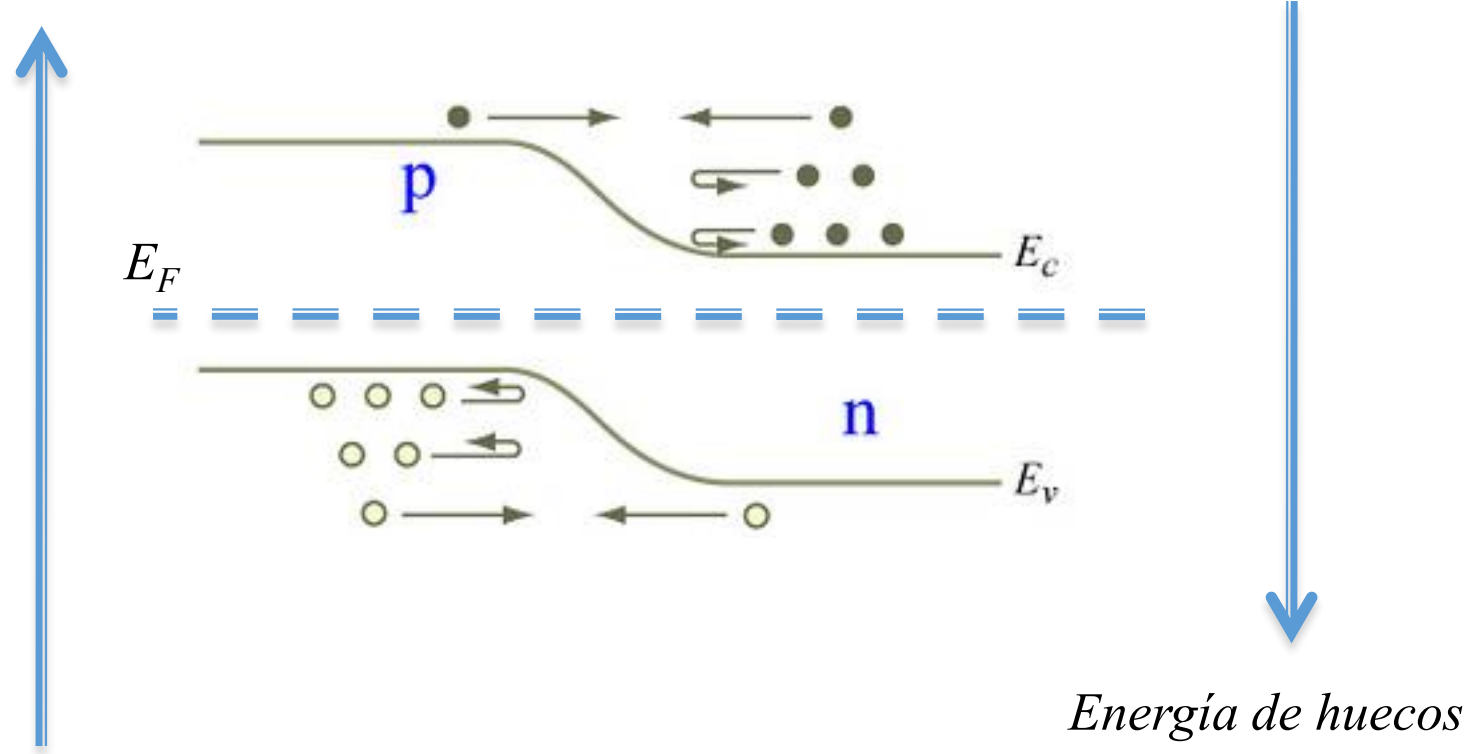
$$\phi = \phi_n - \frac{1}{2} \frac{qN_d}{\varepsilon_{Si}} (x - x_n)^2$$

Potencial



Niveles de Energía

Energía de electrones



Potencial

- Continuidad

- Igualdad en la junta metalúrgica ($x=0$)

$$\phi_p + \frac{1}{2} \frac{qN_a}{\epsilon_{Si}} x_p^2 = \phi_n - \frac{1}{2} \frac{qN_d}{\epsilon_{Si}} x_n^2$$

- Longitudes zona de vaciamiento

$$x_n = \sqrt{\frac{2\epsilon_{Si}N_a\phi_B}{qN_d(N_a + N_d)}}$$

$$x_p = \sqrt{\frac{2\epsilon_{Si}N_d\phi_B}{qN_a(N_a + N_d)}}$$

Ejemplo

Ejemplo 12 *Un diodo semiconductor está dopado con $N_a = 10 \times 10^{15}$ y $N_d = 10 \times 10^{16}$. Halle la longitud de las zonas de vaciamiento en cada uno de los materiales, y la total.*

En primer lugar, por la regla de los 60mV, resulta $\phi_n = 60mV \times \log_{10}(10^6) = 360mV$, $\phi_p = -60mV \times \log_{10}(10^5) = -300mV$ y $\phi_B = 360mV - (-300mV) = 660mV$. Luego, las longitudes de las zonas de vaciamiento se pueden calcular como:

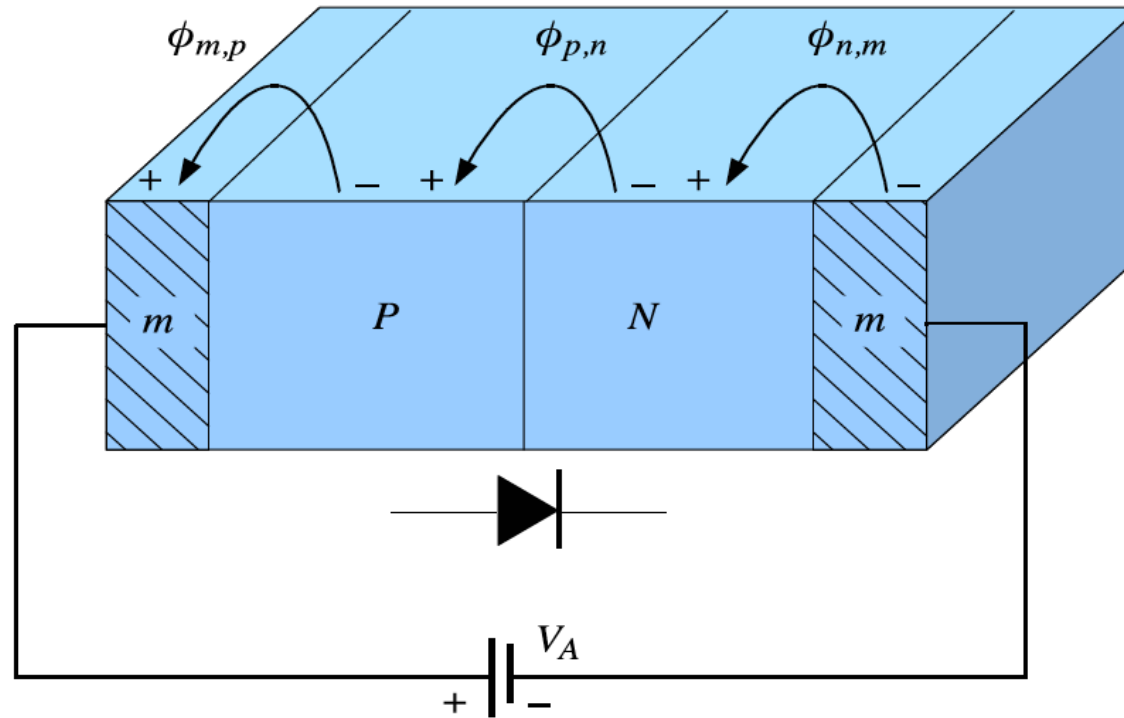
$$\begin{aligned}x_n &= \sqrt{\frac{2 \times 11,8 \times 8,854 \times 10^{-14} \times 10^{15} \times 660 \times 10^{-3}}{1,6 \times 10^{-19} \times 10^{16} \times (10^{16} + 10^{15})}} \\&= 8,852 \times 10^{-6}cm = 88,52nm\end{aligned}$$

$$\begin{aligned}x_p &= \sqrt{\frac{2 \times 11,8 \times 8,854 \times 10^{-14} \times 10^{16} \times 660 \times 10^{-3}}{1,6 \times 10^{-19} \times 10^{15} \times (10^{16} + 10^{15})}} \\&= 88,52 \times 10^{-6}cm = 0,8852\mu m\end{aligned}$$

$$x_B = 0,8852\mu m + 0,08852\mu m = 0,974\mu m$$

Modelo de DC

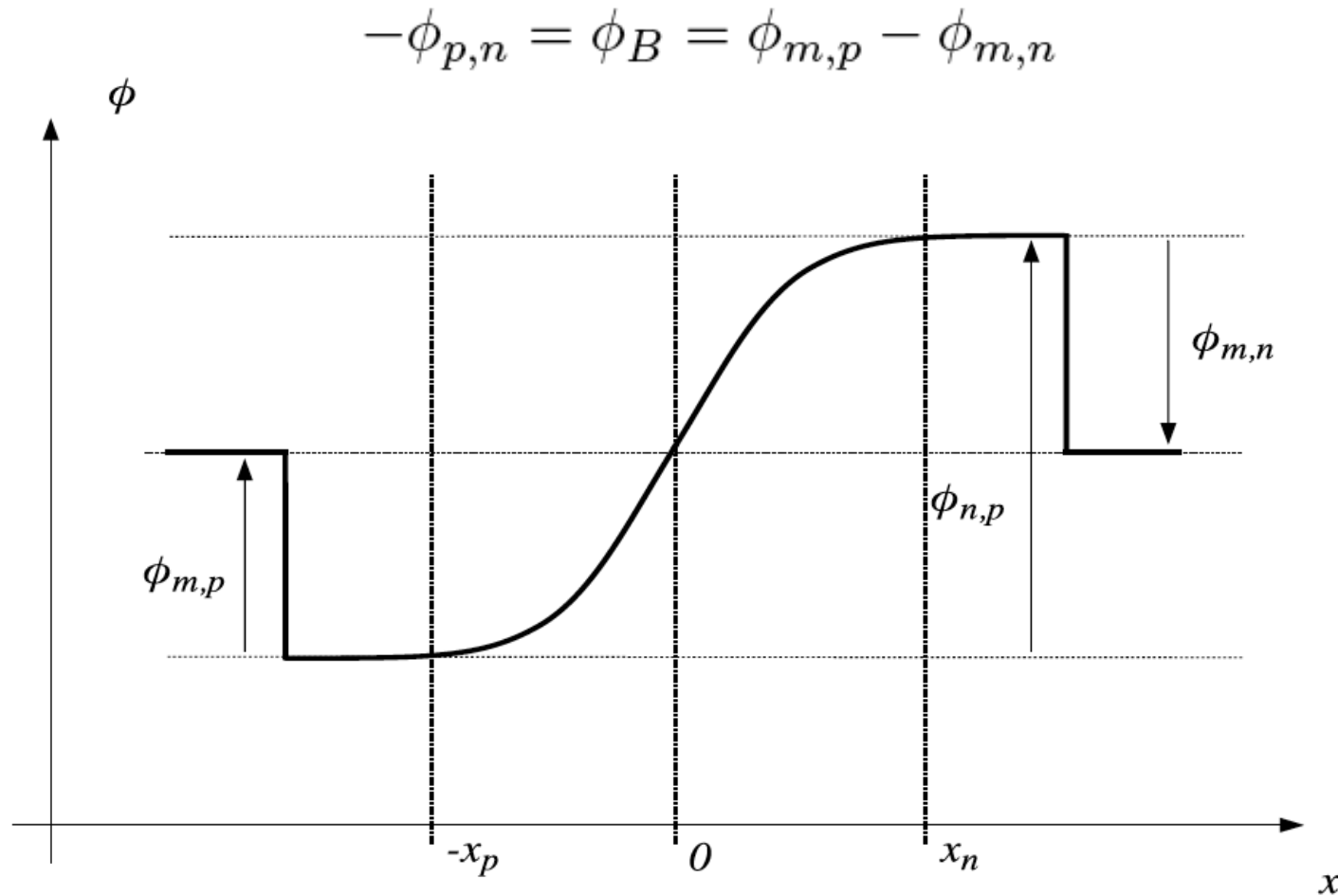
- Objetivo: Hallar la expresión de la corriente del diodo



$$V_A = \phi_{m,p} + \phi_{p,n} + \phi_{n,m}$$

Modelo de DC

- Si la tensión aplicada es nula:



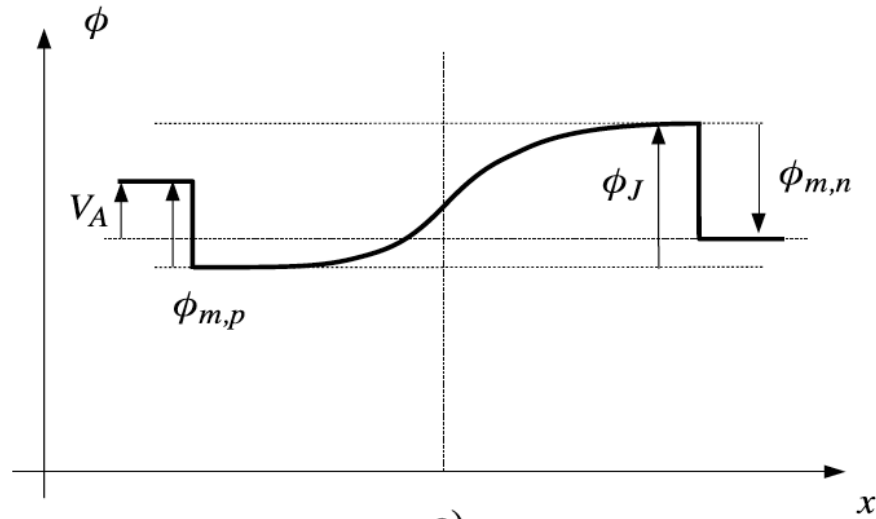
Modelo de DC

- Si se aplica tensión:

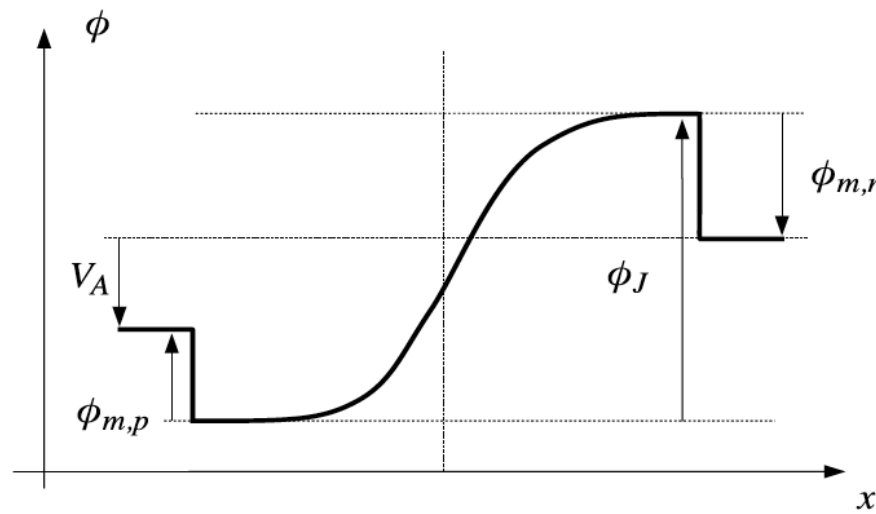
$$V_A = \phi_{m,p} - \phi_{m,n} - \phi_J$$

$$\phi_J = \phi_B - V_A$$

- La tensión en la junta es distinta de ϕ_B



a)



b)

Ley de la Juntura

- Relación entre portadores mayoritarios y minoritarios a ambos lados de la juntura

- Potenciales

Restando ambos

$$\phi_p = U_T \ln \left(\frac{n_p}{n_i} \right)$$

$$\phi_n = U_T \ln \left(\frac{n_n}{n_i} \right)$$

$$\phi_B = \phi_n - \phi_p = U_T \left(\ln \left(\frac{n_n}{n_i} \right) - \ln \left(\frac{n_p}{n_i} \right) \right)$$

$$= U_T \ln \left(\frac{n_n n_i}{n_i n_p} \right) = U_T \ln \left(\frac{n_n}{n_p} \right)$$

$$\boxed{n_p = N_d e^{-\phi_B / U_T}}$$

Ley de la Juntura

- Considerando los huecos

- Potenciales

$$\phi_p = -U_T \ln \left(\frac{p_P}{n_i} \right)$$

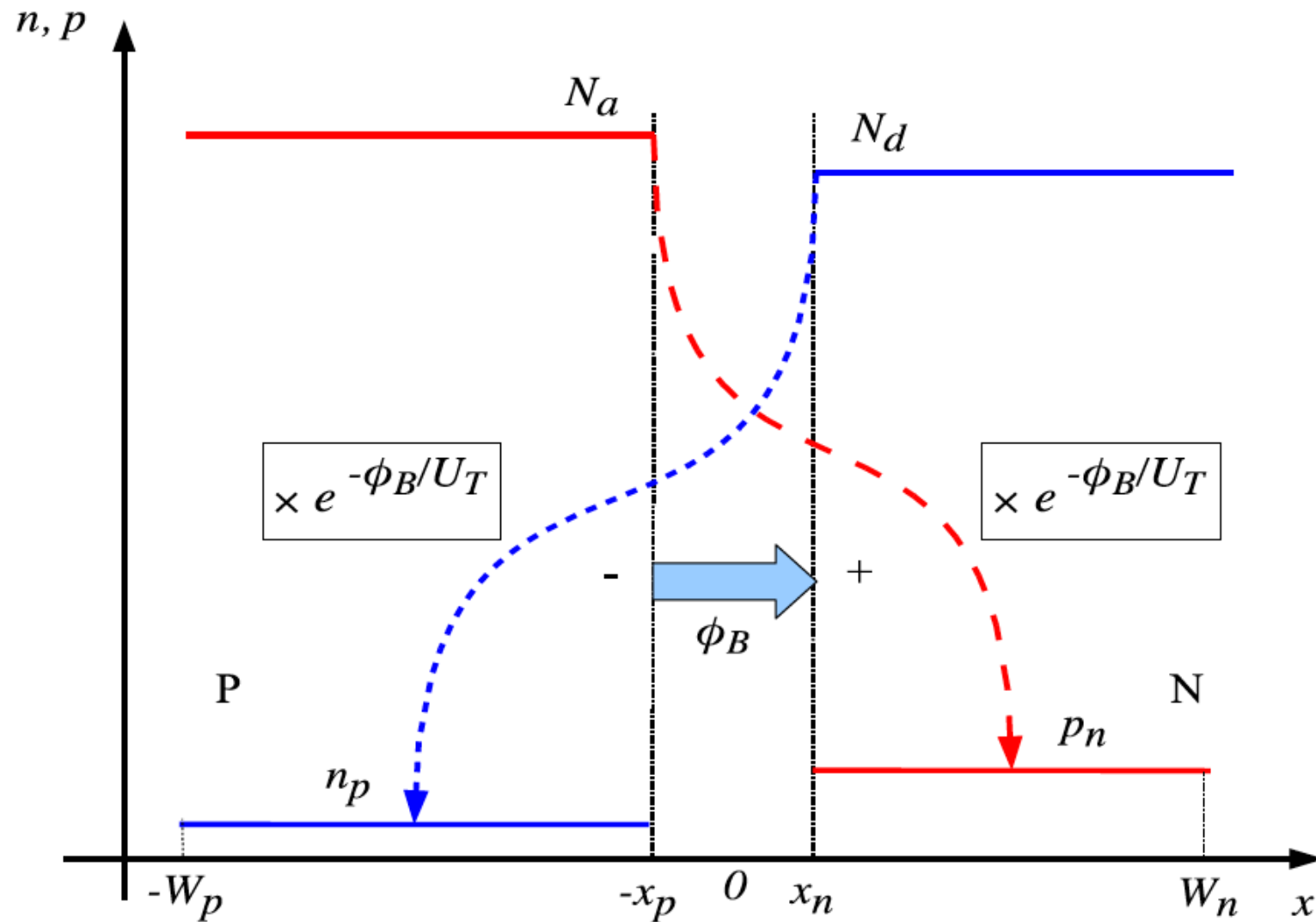
$$\phi_n = -U_T \ln \left(\frac{p_N}{n_i} \right)$$

Restando ambos

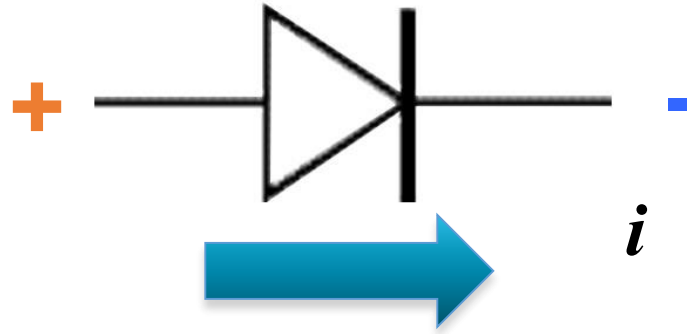
$$\phi_B = \phi_n - \phi_p = -U_T \ln \left(\frac{p_N}{p_P} \right)$$

$$p_N = N_a e^{-\phi_B / U_T}$$

Ley de la Juntura



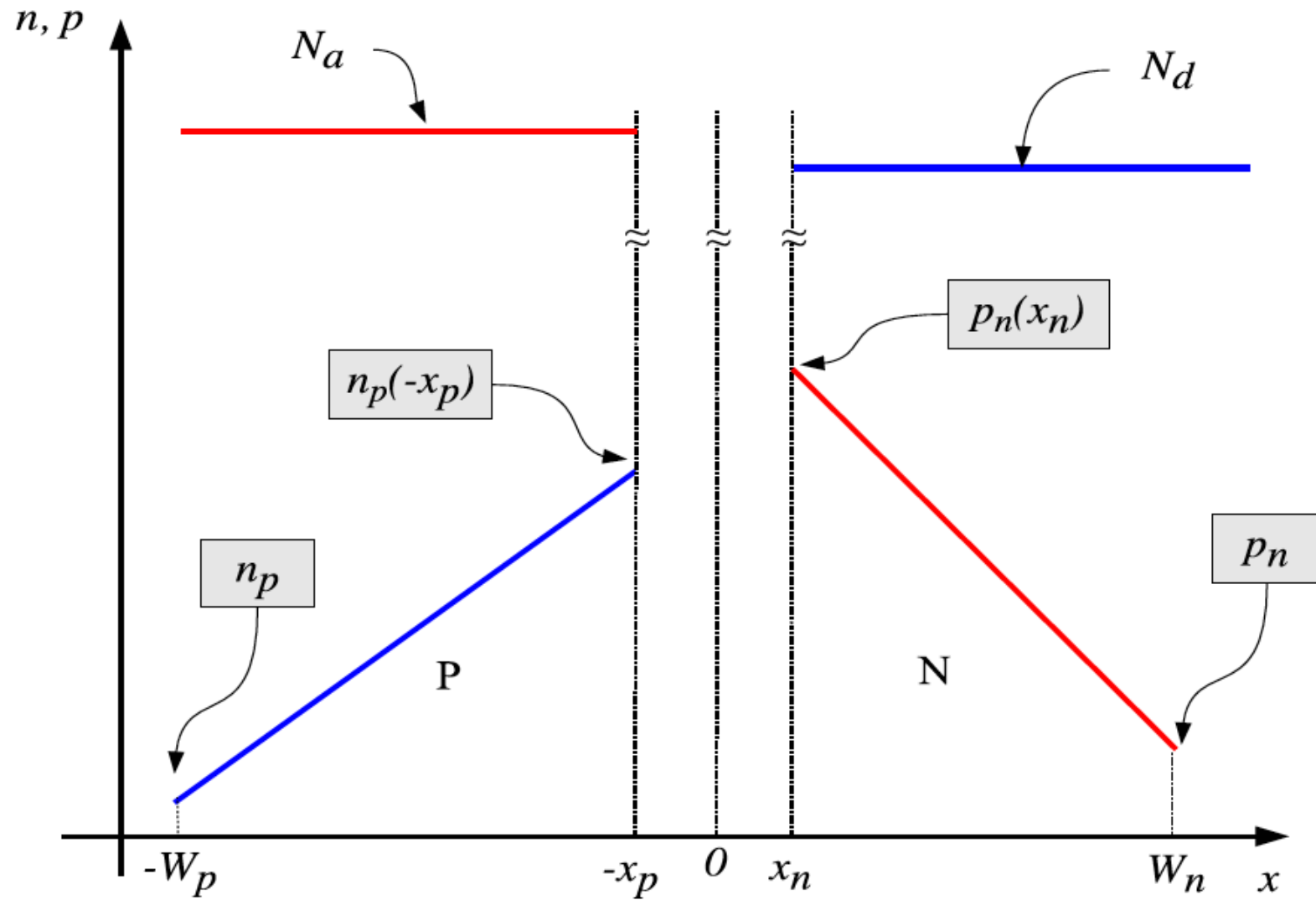
Solución en directa



- Corriente causada por difusión
- Suposiciones
 - Longitud de la juntura corta: no hay recombinación
 - Corriente suficientemente pequeña (baja inyección de portadores)
 - Puede asumirse equilibrio térmico

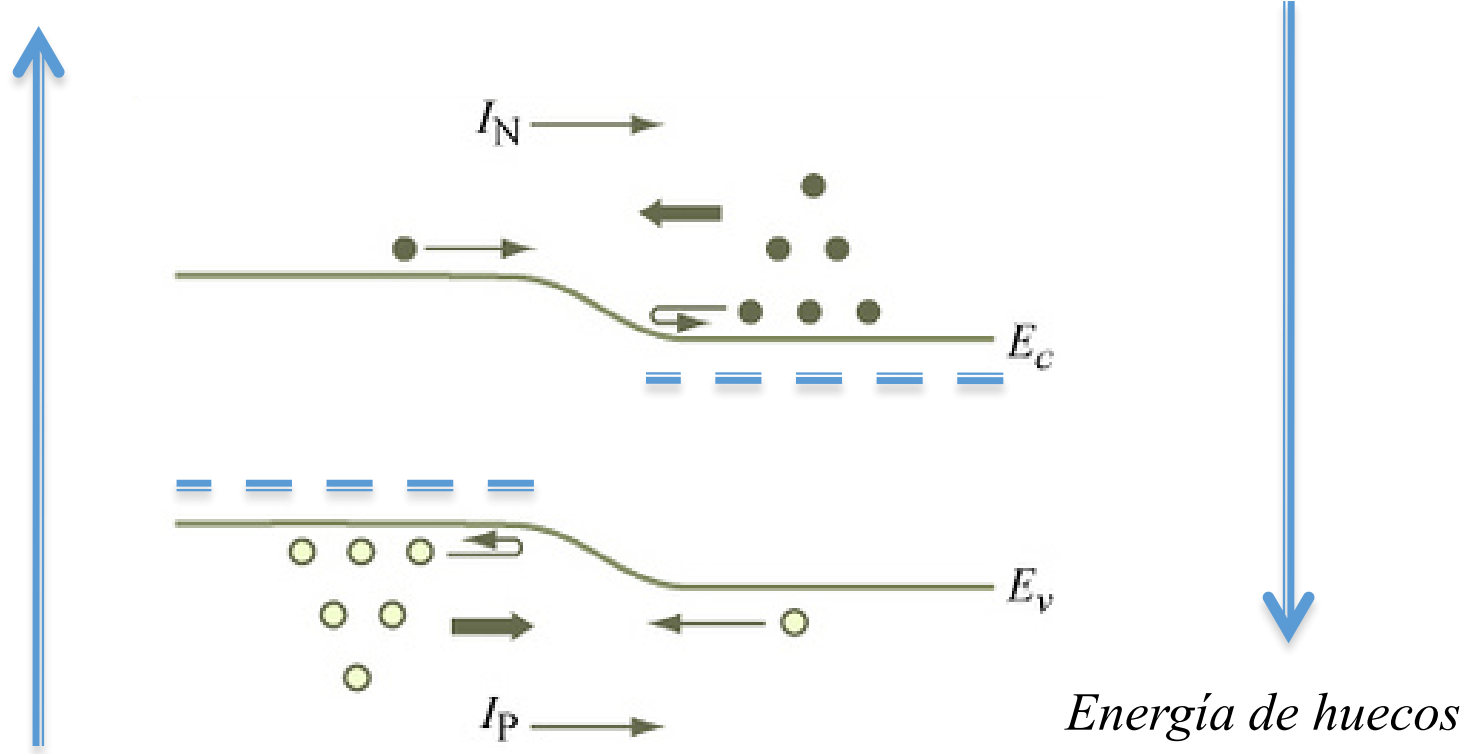
$$n_P(-x_p) \ll N_a \quad p_N(x_n) \ll N_d$$

Solución en directa



Niveles de Energía

Energía de electrones



Corriente en el material P

- Difusión en el lado P

$$J_n^d = qD_n \frac{dn}{dx} = qD_n \frac{n_P(-x_p) - n_P(-W_p)}{-x_p + W_p}$$

- Considerando:

$$n_P(-x_p) = N_d e^{-\phi_J/U_T}$$

$$N_d e^{-\phi_J/U_T} = N_d e^{-\phi_B/U_T} e^{V_A/U_T} = n_P e^{V_A/U_T}$$

$$J_n^d = \frac{qD_n n_P}{W_p} \left(e^{V_A/U_T} - 1 \right)$$

Corriente en el material N

- Difusión en el lado N

$$J_p^d = -qD_p \frac{dp}{dx} = -qD_p \frac{p_N(W_n) - p_N(x_n)}{W_n - x_n}$$

- Considerando:

$$p_N(x_n) = N_a e^{-\phi_J/U_T}$$

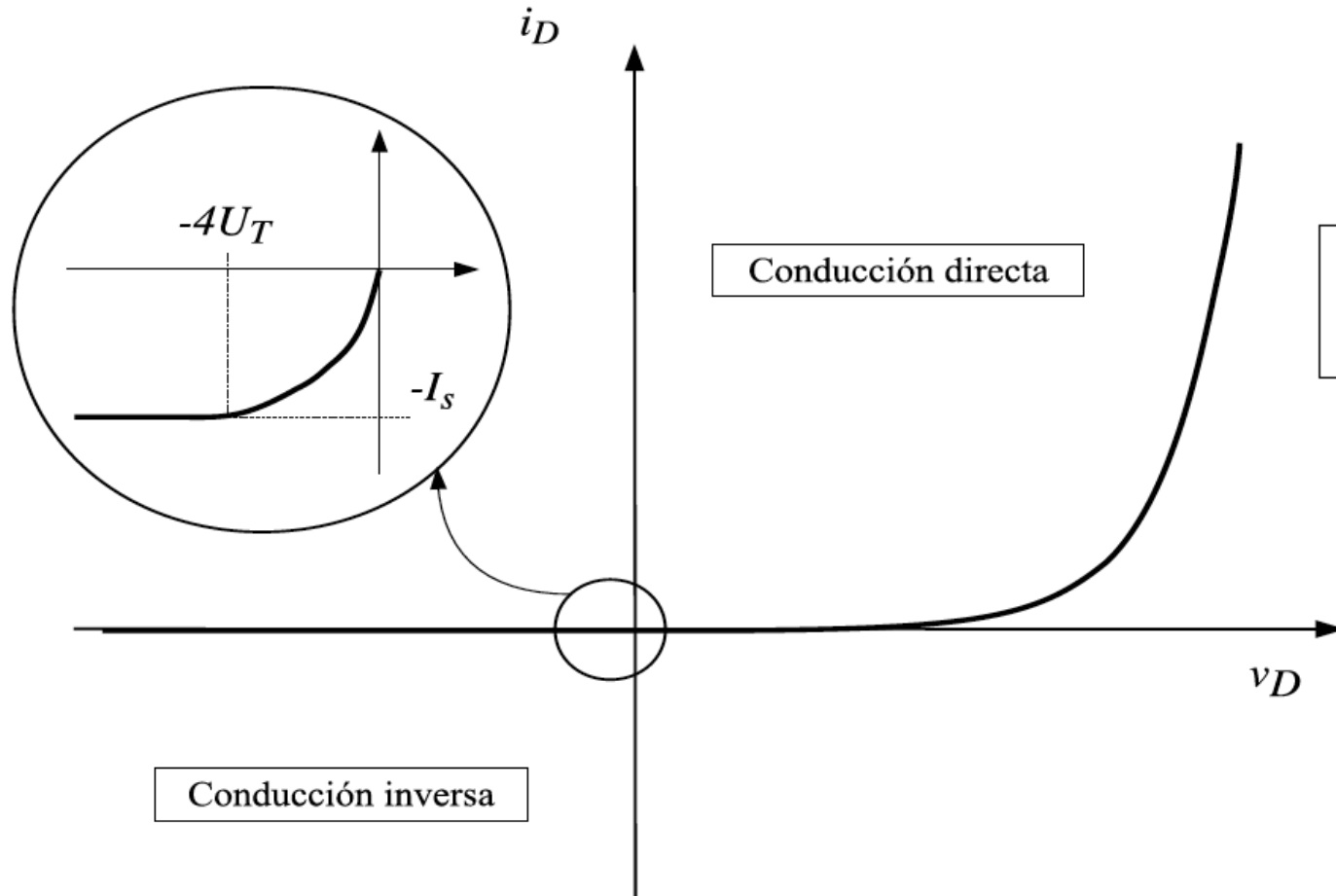
$$N_a e^{-\phi_J/U_T} = N_a e^{-\phi_B/U_T} e^{V_A/U_T} = p_N e^{V_A/U_T}$$

$$J_p^d = \frac{qD_p p_N}{W_n} \left(e^{V_A/U_T} - 1 \right)$$

Corriente total

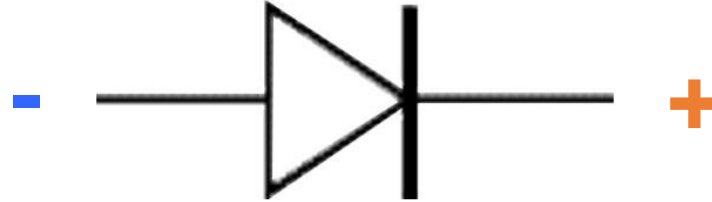
$$J_D = J_p^d + J_n^d$$

$$i_D = I_s \left(e^{v_D/U_T} - 1 \right)$$



$$I_s = qA \left(\frac{D_p p_N}{W_n} + \frac{D_n n_P}{W_p} \right)$$

Solución en inversa



- Ecuación planteada sigue siendo válida
- Portadores:

- Lado P

$$\begin{aligned}n_P(-x_p) &= N_d e^{-\phi_B/U_T} e^{V_A/U_T} \\ &= n_P e^{V_A/U_T}\end{aligned}$$

- Si V_A es negativa ($< -100\text{mV}$) $e^{V_A/U_T} \approx 0 \quad \Rightarrow \quad n_P(-x_p) = 0$

Solución en inversa



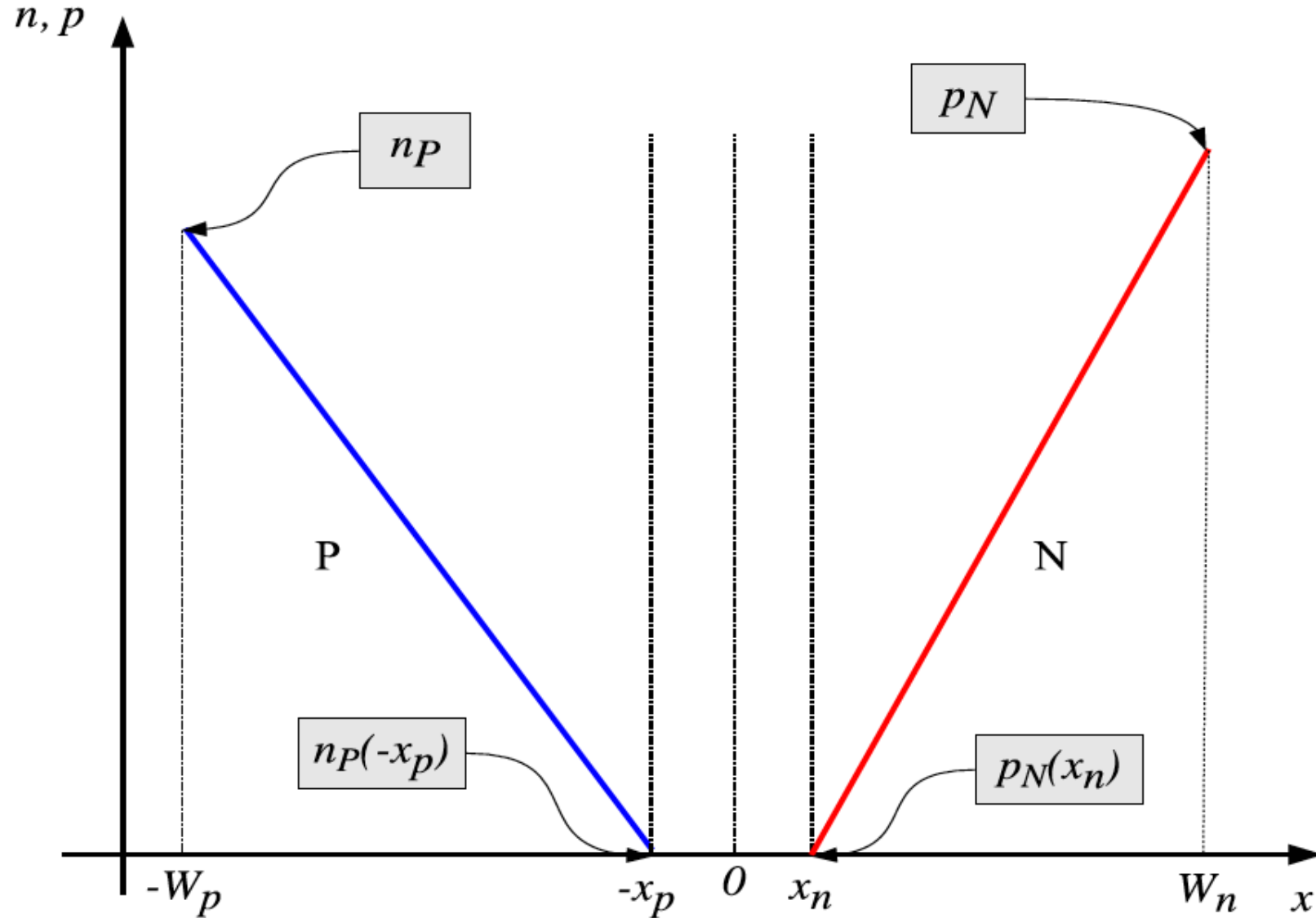
- Ecuación planteada sigue siendo válida
- Portadores:

- Lado N

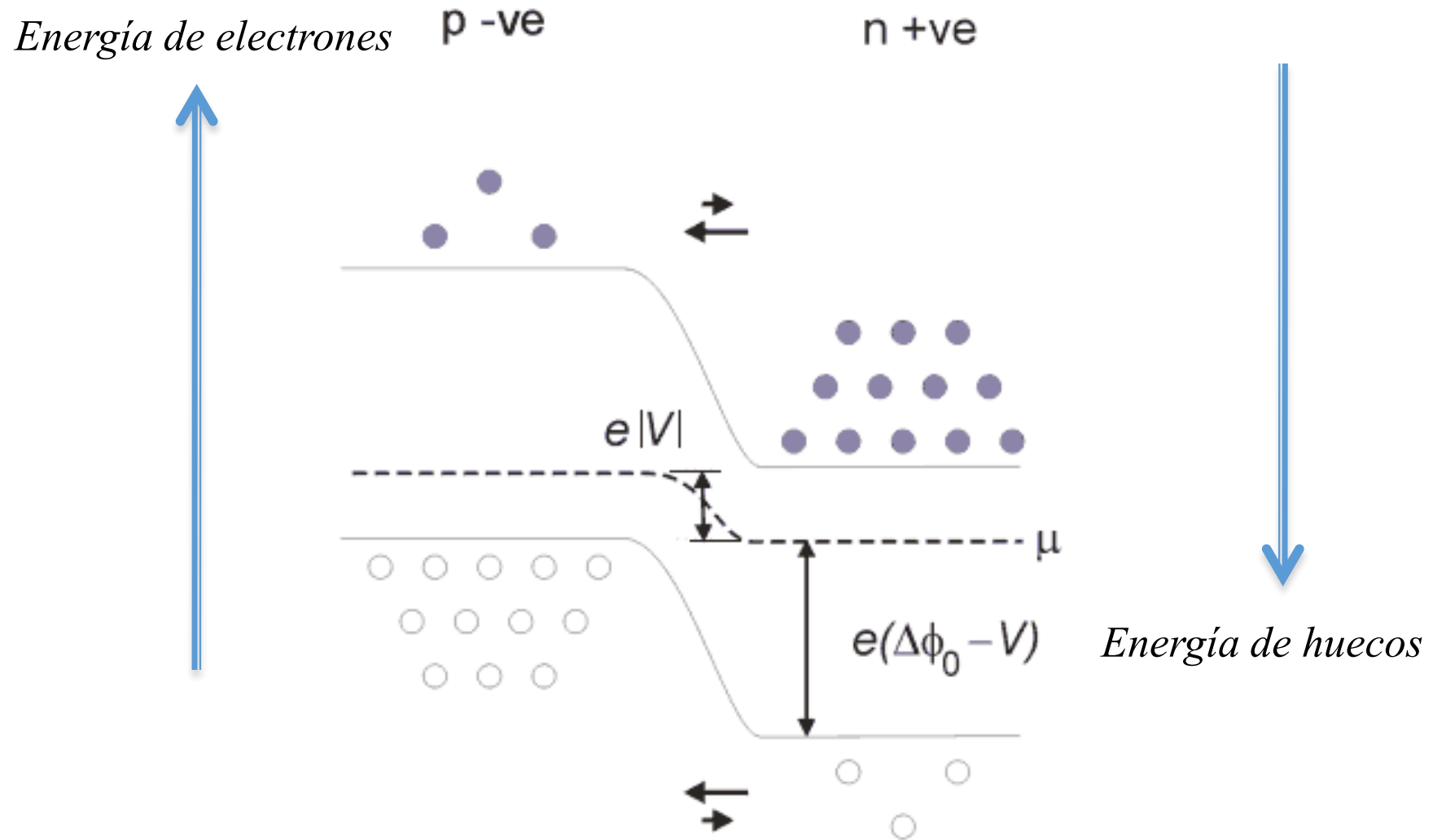
$$\begin{aligned} p_N(x_n) &= N_a e^{-\phi_B/U_T} e^{V_A/U_T} \\ &= p_N e^{V_A/U_T} \end{aligned}$$

- Si V_A es negativa ($< -100\text{mV}$) $e^{V_A/U_T} \approx 0 \rightarrow p_N(x_n) = 0$

Inversa: perfil de portadores



Niveles de Energía



Inversa

- Corriente

$$\boxed{I_D = -I_s}$$

- Zonas de vaciamiento

$$x_n(V_A) = \sqrt{\frac{2\varepsilon_{Si}N_a(\phi_B - V_A)}{qN_d(N_a + N_d)}}$$

$$x_p(V_A) = \sqrt{\frac{2\varepsilon_{Si}N_d(\phi_B - V_A)}{qN_a(N_a + N_d)}}$$

$$x_B(V_A) = x_p(V_A) + x_n(V_A) = \sqrt{\frac{2\varepsilon_{Si}(\phi_B - V_A)}{q} \left(\frac{1}{N_d} + \frac{1}{N_a} \right)}$$

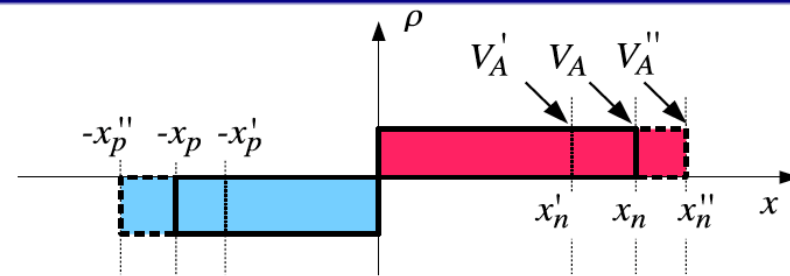
Inversa

- Zonas de vaciamiento

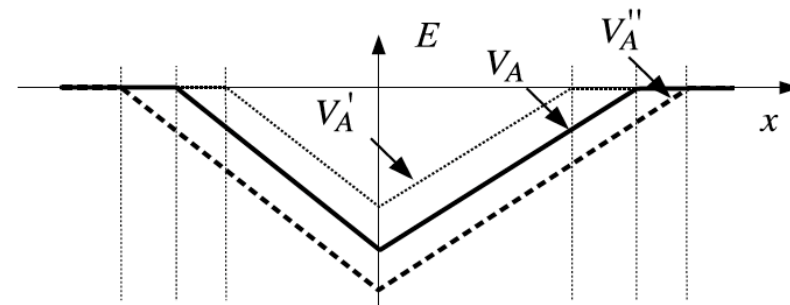
$$\begin{aligned}x_B(V_A) &= \sqrt{\frac{2\varepsilon_{Si}\phi_B}{q} \left(\frac{1}{N_d} + \frac{1}{N_a} \right) \left(1 - \frac{V_A}{\phi_B} \right)} \\&= x_B(0) \sqrt{1 - \frac{V_A}{\phi_B}}\end{aligned}$$

- Máximo campo eléctrico

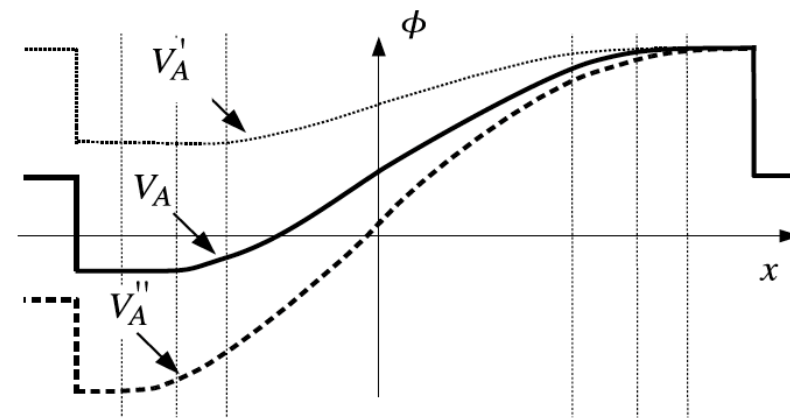
$$E_{max} = E(0) = -q \frac{N_d}{\varepsilon_{Si}} x_n(V_A) = -q \frac{N_a}{\varepsilon_{Si}} x_p(V_A)$$



a)



b)



c)

$$V_A < 0$$

Dependencia con T

- La corriente de pérdida en un diodo, se duplica cada 10 grados

$$I_s \sim T^{(3/2)} \exp \frac{-E_g}{kT} \approx \exp \frac{-E_g}{kT} \approx I_s \Big|_{T_a} (1 + \Delta T/7)$$

- La tensión disminuye 2mV por grado

$$\begin{aligned} v_D &= v_D \Big|_{T_a} - \frac{U_T}{I_s} \Delta I_s \\ &= v_D \Big|_{T_a} - \frac{U_T}{I_s} \times \frac{I_s \Delta T}{7} = v_D \Big|_{T_a} - 3,5mV/^{\circ}C \times \Delta T \end{aligned}$$